

## Características

Antena cilíndrica de fendas, polarização horizontal para TV DIGITAL UHF canal 14-52  
 Diagrama direcional, omnidirecional ou específico  
 Montagem em topo ou lateral de torre  
 Reduzida carga de vento com construção robusta  
 Variada gama de diagramas de radiação, potências de entrada e ganhos

## Especificações:

Potência Max	De acordo com projeto
Ganho	Vide tabela
Faixa de Frequência	470 a 704 MHz
Polarização	Horizontal
Diagrama Horizontal	Direcional, Omnidirecional ou específico.
Diagrama vertical	Tilt e null fill opcional (consultar)
Impedância de entrada	50 ohms
VSWR Máx. no canal	1,1 : 1
Conector de entrada	N-Fêmea, EIA7/8", EIA1-5/8" e EIA 3-1/8"
Dimensões e esforços	Vide tabela
Velocidade Máx. vento	180 Km/h
Pressurização	Plena para conectores EIA1-5/8" e EIA 3-1/8"(Máx. 10 PSI)
Quantidade de fendas	2,4,6,8,12 ou 16 fendas
Aterramento	Através da estrutura da antena
Largura de faixa	6 MHz ou 12MHz(opcional)



Imagem Ilustrativa

## Características Construtivas

### Material Empregado:

Estrutura da antena em alumínio, latão e aço inox  
 Linhas de alimentação das fendas em alumínio  
 Radome em fibra de vidro de alta durabilidade  
 Fixadores em aço inox e isoladores em PTFE  
 Conector de entrada com contatos internos banhados em prata  
 Estrutura de sustentação em aço galvanizado a quente

### Montagem:

Fixação em topo de torres através de flanges padronizadas ou na lateral de torres por suporte de adaptação em aço galvanizado a quente. (consulte)

### Acabamento:

Pintura com fundo anti-corrosivo e tinta na cor laranja boreal.

### Acessórios:

Divisores de potência simétricos ou assimétricos em latão com contatos internos banhados em prata e com acabamento em tinta epóxi.

### Embalagem:

Acomodados em engradados de madeira de reflorestamento, juntamente com os demais itens do sistema.

## Modelo:

IFSLC- (Polarização\*) - (Nº Fendas) - (Diagrama Hor.) - (Canal) - (Conexão\*) - (Fixação\*)  
 H                      2,4,6,8,12,16    80°,140°,220°,260°,360°    14 até 52                      A,B,C,D                      L ou T

### \*Polarização

H - Horizontal

### \*Fixação

L - Lateral de torre  
 T - Topo de torre

### \*Conexão de Entrada

A - N-Fêmea  
 B - EIA 7/8"  
 C - EIA 1-5/8"  
 D - EIA 3-1/8"

Potência Máxima por Conexão		
A	N-Fêmea	0,3 Kw
B	EIA 7/8"	1,0 Kw
C	EIA 1-5/8"	5,0 Kw
D	EIA 3-1/8"	10,0 Kw







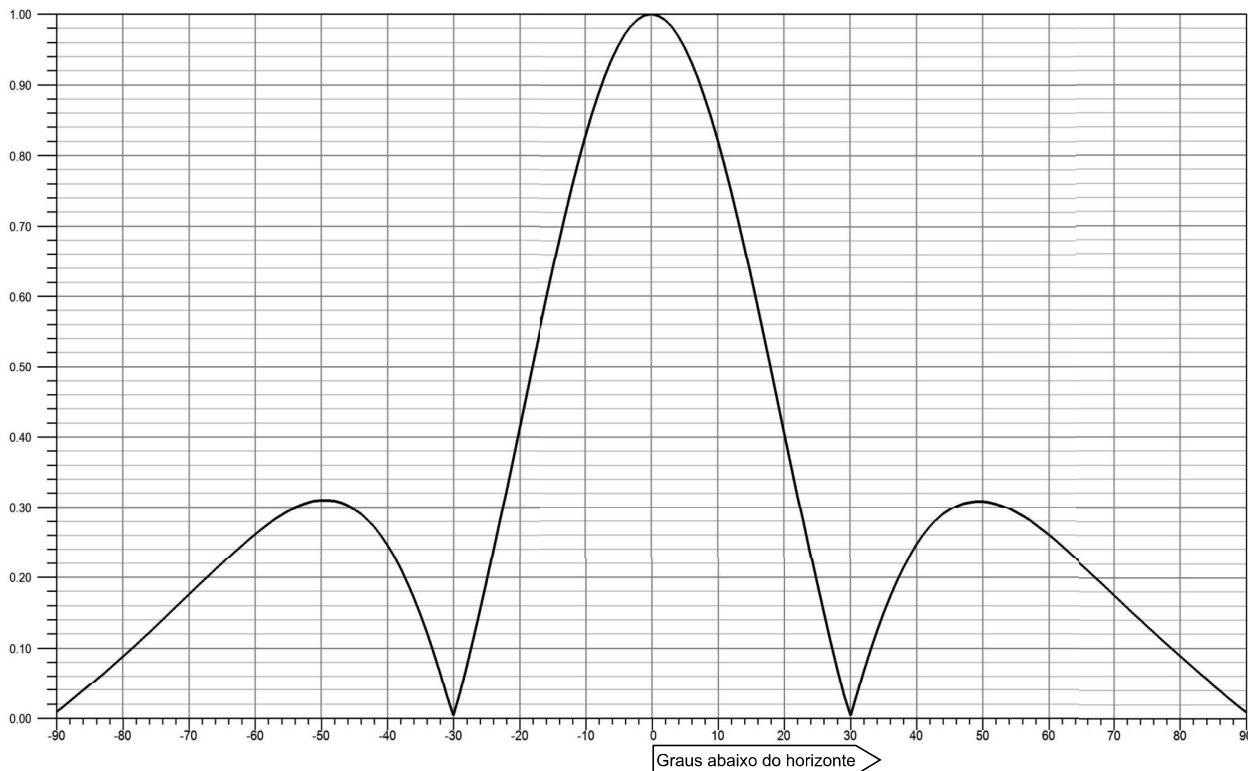






## Diagramas de Radiação Vertical - Hpol

### Diagrama de Elevação 2 fendas

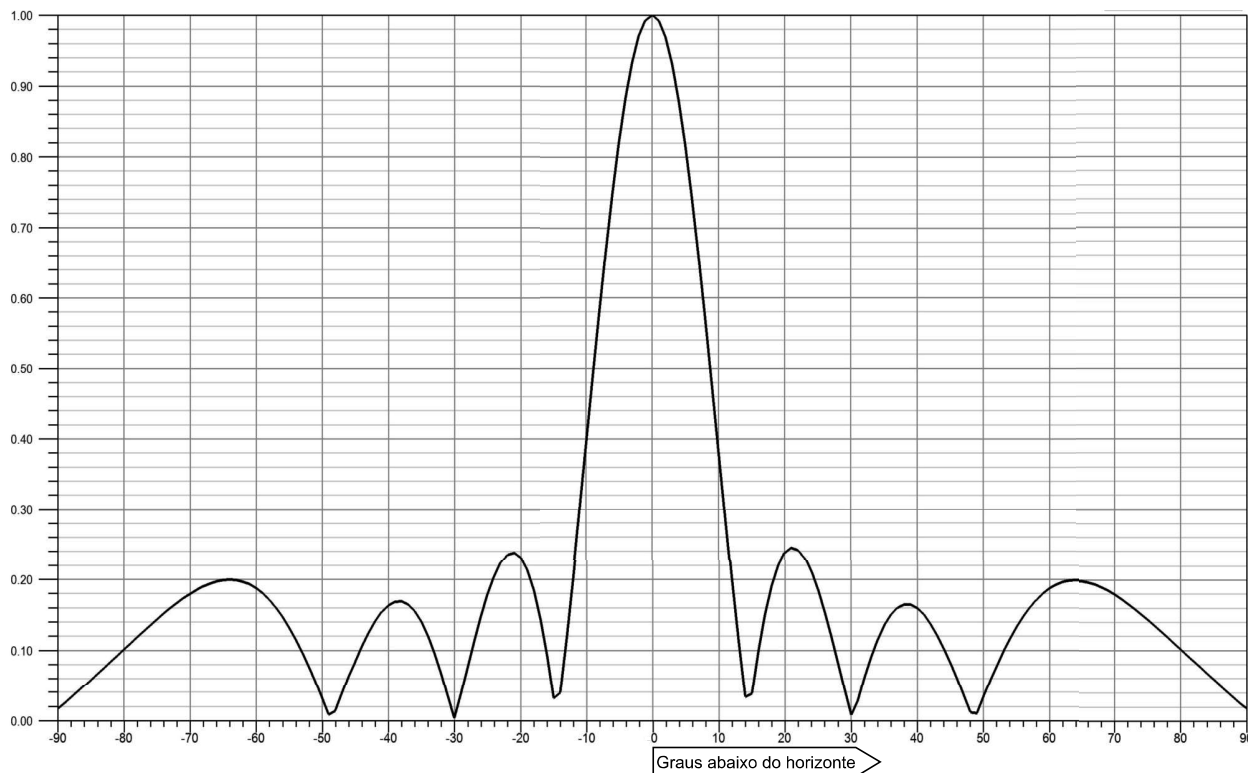


Graus	E/Emáx	dB	Graus	E/Emáx	dB	Graus	E/Emáx	dB	Graus	E/Emáx	dB	Graus	E/Emáx	dB	Graus	E/Emáx	dB
-90	0,010	-39,84	-60	0,262	-11,62	-30	0,004	-47,36	0	1,000	0,00	30	0,004	-47,44	60	0,261	-11,68
-89	0,017	-35,43	-59	0,270	-11,38	-29	0,036	-28,79	1	0,998	-0,02	31	0,036	-28,94	61	0,253	-11,94
-88	0,024	-32,28	-58	0,277	-11,15	-28	0,073	-22,70	2	0,992	-0,07	32	0,067	-23,47	62	0,245	-12,22
-87	0,032	-29,90	-57	0,284	-10,95	-27	0,112	-19,03	3	0,983	-0,15	33	0,097	-20,31	63	0,237	-12,52
-86	0,040	-28,01	-56	0,290	-10,76	-26	0,152	-16,37	4	0,970	-0,27	34	0,124	-18,13	64	0,228	-12,83
-85	0,048	-26,44	-55	0,295	-10,60	-25	0,193	-14,28	5	0,953	-0,42	35	0,149	-16,51	65	0,220	-13,17
-84	0,056	-25,09	-54	0,300	-10,46	-24	0,236	-12,55	6	0,933	-0,60	36	0,173	-15,24	66	0,211	-13,52
-83	0,064	-23,92	-53	0,304	-10,35	-23	0,279	-11,08	7	0,910	-0,82	37	0,194	-14,23	67	0,202	-13,89
-82	0,072	-22,88	-52	0,307	-10,26	-22	0,323	-9,80	8	0,884	-1,07	38	0,214	-13,40	68	0,193	-14,28
-81	0,080	-21,93	-51	0,309	-10,20	-21	0,368	-8,68	9	0,855	-1,37	39	0,231	-12,72	69	0,184	-14,69
-80	0,088	-21,08	-50	0,310	-10,17	-20	0,413	-7,68	10	0,823	-1,70	40	0,247	-12,16	70	0,175	-15,12
-79	0,097	-20,29	-49	0,310	-10,16	-19	0,458	-6,77	11	0,788	-2,07	41	0,260	-11,70	71	0,166	-15,57
-78	0,105	-19,56	-48	0,309	-10,20	-18	0,503	-5,96	12	0,752	-2,48	42	0,272	-11,31	72	0,158	-16,05
-77	0,114	-18,88	-47	0,307	-10,27	-17	0,548	-5,23	13	0,713	-2,94	43	0,282	-11,00	73	0,149	-16,55
-76	0,122	-18,24	-46	0,303	-10,37	-16	0,592	-4,56	14	0,673	-3,44	44	0,290	-10,75	74	0,140	-17,08
-75	0,131	-17,64	-45	0,298	-10,53	-15	0,635	-3,95	15	0,631	-4,00	45	0,297	-10,56	75	0,131	-17,64
-74	0,140	-17,08	-44	0,291	-10,73	-14	0,676	-3,40	16	0,588	-4,61	46	0,302	-10,41	76	0,123	-18,23
-73	0,149	-16,55	-43	0,282	-10,99	-13	0,716	-2,90	17	0,544	-5,29	47	0,305	-10,30	77	0,114	-18,86
-72	0,158	-16,04	-42	0,272	-11,31	-12	0,755	-2,44	18	0,499	-6,03	48	0,308	-10,24	78	0,106	-19,53
-71	0,167	-15,56	-41	0,260	-11,70	-11	0,791	-2,03	19	0,454	-6,85	49	0,309	-10,21	79	0,097	-20,25
-70	0,176	-15,10	-40	0,246	-12,17	-10	0,825	-1,67	20	0,409	-7,76	50	0,309	-10,21	80	0,089	-21,03
-69	0,185	-14,66	-39	0,231	-12,75	-9	0,857	-1,34	21	0,364	-8,77	51	0,307	-10,25	81	0,081	-21,87
-68	0,194	-14,25	-38	0,213	-13,44	-8	0,886	-1,05	22	0,319	-9,91	52	0,305	-10,31	82	0,072	-22,81
-67	0,203	-13,86	-37	0,193	-14,28	-7	0,912	-0,80	23	0,275	-11,20	53	0,302	-10,40	83	0,064	-23,84
-66	0,212	-13,48	-36	0,172	-15,31	-6	0,935	-0,58	24	0,232	-12,69	54	0,298	-10,52	84	0,056	-25,00
-65	0,221	-13,12	-35	0,148	-16,61	-5	0,955	-0,40	25	0,190	-14,45	55	0,293	-10,66	85	0,048	-26,34
-64	0,229	-12,79	-34	0,122	-18,27	-4	0,971	-0,26	26	0,148	-16,58	56	0,288	-10,82	86	0,040	-27,90
-63	0,238	-12,47	-33	0,094	-20,51	-3	0,984	-0,14	27	0,108	-19,30	57	0,282	-11,01	87	0,032	-29,79
-62	0,246	-12,17	-32	0,065	-23,79	-2	0,993	-0,06	28	0,070	-23,11	58	0,275	-11,21	88	0,025	-32,18
-61	0,255	-11,88	-31	0,033	-29,61	-1	0,998	-0,01	29	0,033	-29,59	59	0,268	-11,43	89	0,017	-35,44



## Diagramas de Radiação Vertical - Hpol

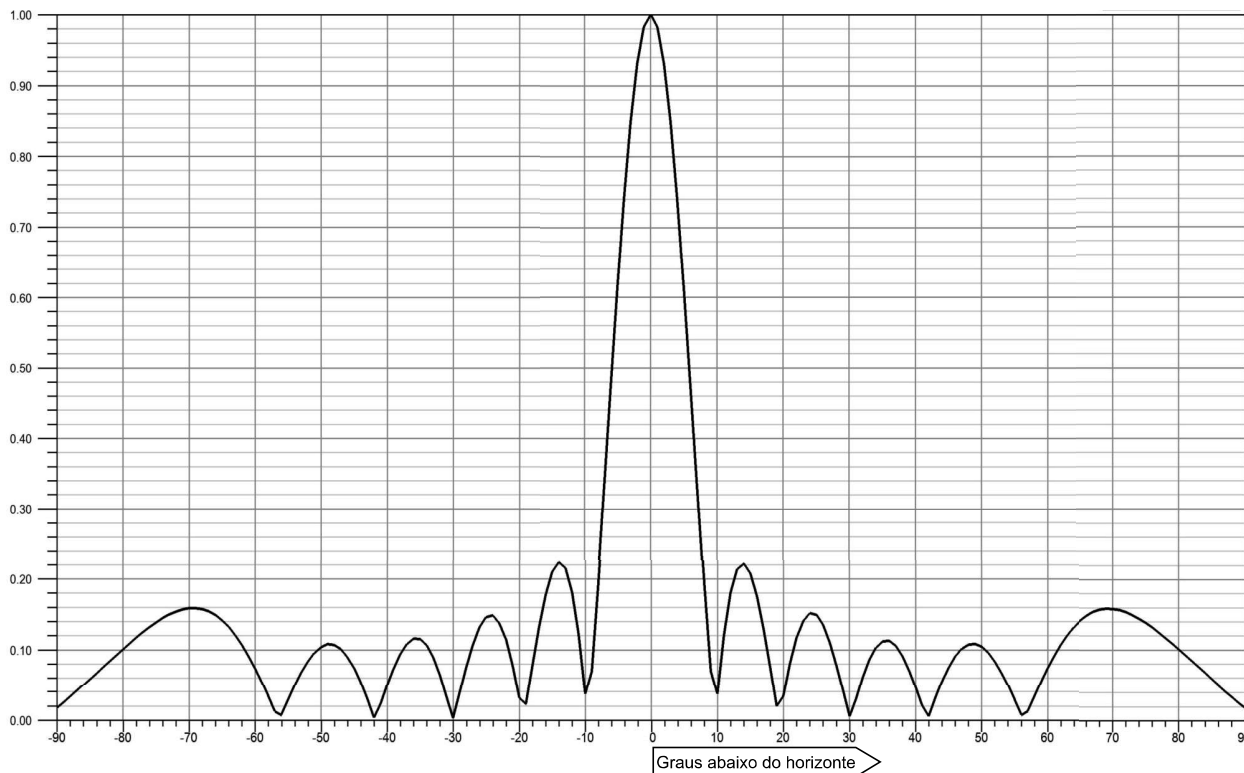
### Diagrama de Elevação 4 fendas



Graus	E/Emáx	dB	Graus	E/Emáx	dB	Graus	E/Emáx	dB	Graus	E/Emáx	dB	Graus	E/Emáx	dB	Graus	E/Emáx	dB
-90	0,017	-35,21	-60	0,188	-14,51	-30	0,004	-47,02	0	1,000	0,00	30	0,009	-41,20	60	0,188	-14,52
-89	0,025	-31,98	-59	0,181	-14,86	-29	0,038	-28,45	1	0,992	-0,07	31	0,029	-30,70	61	0,193	-14,28
-88	0,033	-29,55	-58	0,172	-15,31	-28	0,075	-22,46	2	0,969	-0,28	32	0,062	-24,21	62	0,197	-14,11
-87	0,042	-27,62	-57	0,161	-15,88	-27	0,112	-19,00	3	0,931	-0,62	33	0,091	-20,85	63	0,199	-14,02
-86	0,050	-26,02	-56	0,148	-16,61	-26	0,147	-16,65	4	0,880	-1,11	34	0,115	-18,75	64	0,200	-13,99
-85	0,059	-24,66	-55	0,133	-17,54	-25	0,178	-14,98	5	0,816	-1,76	35	0,135	-17,36	65	0,199	-14,02
-84	0,067	-23,47	-54	0,116	-18,71	-24	0,204	-13,80	6	0,743	-2,59	36	0,150	-16,45	66	0,197	-14,10
-83	0,076	-22,42	-53	0,098	-20,22	-23	0,224	-13,00	7	0,660	-3,61	37	0,160	-15,90	67	0,194	-14,24
-82	0,084	-21,48	-52	0,077	-22,23	-22	0,236	-12,55	8	0,571	-4,86	38	0,165	-15,65	68	0,190	-14,42
-81	0,093	-20,63	-51	0,056	-25,07	-21	0,239	-12,44	9	0,479	-6,40	39	0,165	-15,66	69	0,185	-14,64
-80	0,102	-19,86	-50	0,033	-29,61	-20	0,232	-12,71	10	0,384	-8,31	40	0,160	-15,92	70	0,180	-14,91
-79	0,110	-19,15	-49	0,010	-40,41	-19	0,214	-13,40	11	0,290	-10,75	41	0,151	-16,43	71	0,173	-15,22
-78	0,119	-18,50	-48	0,015	-36,73	-18	0,185	-14,66	12	0,199	-14,02	42	0,138	-17,21	72	0,167	-15,57
-77	0,127	-17,90	-47	0,039	-28,26	-17	0,145	-16,78	13	0,113	-18,94	43	0,122	-18,29	73	0,159	-15,95
-76	0,136	-17,34	-46	0,062	-24,12	-16	0,094	-20,56	14	0,034	-29,39	44	0,103	-19,74	74	0,152	-16,38
-75	0,144	-16,83	-45	0,085	-21,42	-15	0,033	-29,76	15	0,039	-28,20	45	0,082	-21,71	75	0,144	-16,84
-74	0,152	-16,36	-44	0,106	-19,49	-14	0,040	-28,04	16	0,100	-19,98	46	0,060	-24,48	76	0,136	-17,35
-73	0,160	-15,94	-43	0,125	-18,06	-13	0,119	-18,51	17	0,151	-16,40	47	0,036	-28,79	77	0,127	-17,90
-72	0,167	-15,55	-42	0,141	-16,99	-12	0,205	-13,78	18	0,192	-14,35	48	0,013	-38,01	78	0,119	-18,49
-71	0,174	-15,20	-41	0,155	-16,21	-11	0,296	-10,59	19	0,220	-13,13	49	0,011	-38,90	79	0,110	-19,14
-70	0,180	-14,89	-40	0,164	-15,70	-10	0,389	-8,20	20	0,238	-12,46	50	0,035	-29,21	80	0,102	-19,84
-69	0,186	-14,62	-39	0,169	-15,43	-9	0,483	-6,31	21	0,245	-12,20	51	0,057	-24,86	81	0,093	-20,61
-68	0,191	-14,40	-38	0,170	-15,41	-8	0,576	-4,79	22	0,243	-12,30	52	0,078	-22,11	82	0,085	-21,45
-67	0,195	-14,22	-37	0,165	-15,64	-7	0,664	-3,56	23	0,231	-12,74	53	0,098	-20,14	83	0,076	-22,38
-66	0,198	-14,09	-36	0,156	-16,16	-6	0,746	-2,55	24	0,211	-13,51	54	0,117	-18,66	84	0,068	-23,41
-65	0,199	-14,00	-35	0,141	-17,03	-5	0,819	-1,73	25	0,185	-14,66	55	0,133	-17,50	85	0,059	-24,57
-64	0,200	-13,97	-34	0,121	-18,34	-4	0,882	-1,09	26	0,154	-16,27	56	0,148	-16,59	86	0,051	-25,91
-63	0,199	-14,00	-33	0,096	-20,32	-3	0,933	-0,60	27	0,119	-18,50	57	0,161	-15,87	87	0,042	-27,47
-62	0,197	-14,10	-32	0,068	-23,41	-2	0,970	-0,26	28	0,082	-21,73	58	0,172	-15,30	88	0,034	-29,34
-61	0,194	-14,27	-31	0,035	-29,09	-1	0,993	-0,06	29	0,044	-27,06	59	0,181	-14,86	89	0,026	-31,67

## Diagramas de Radiação Vertical - Hpol

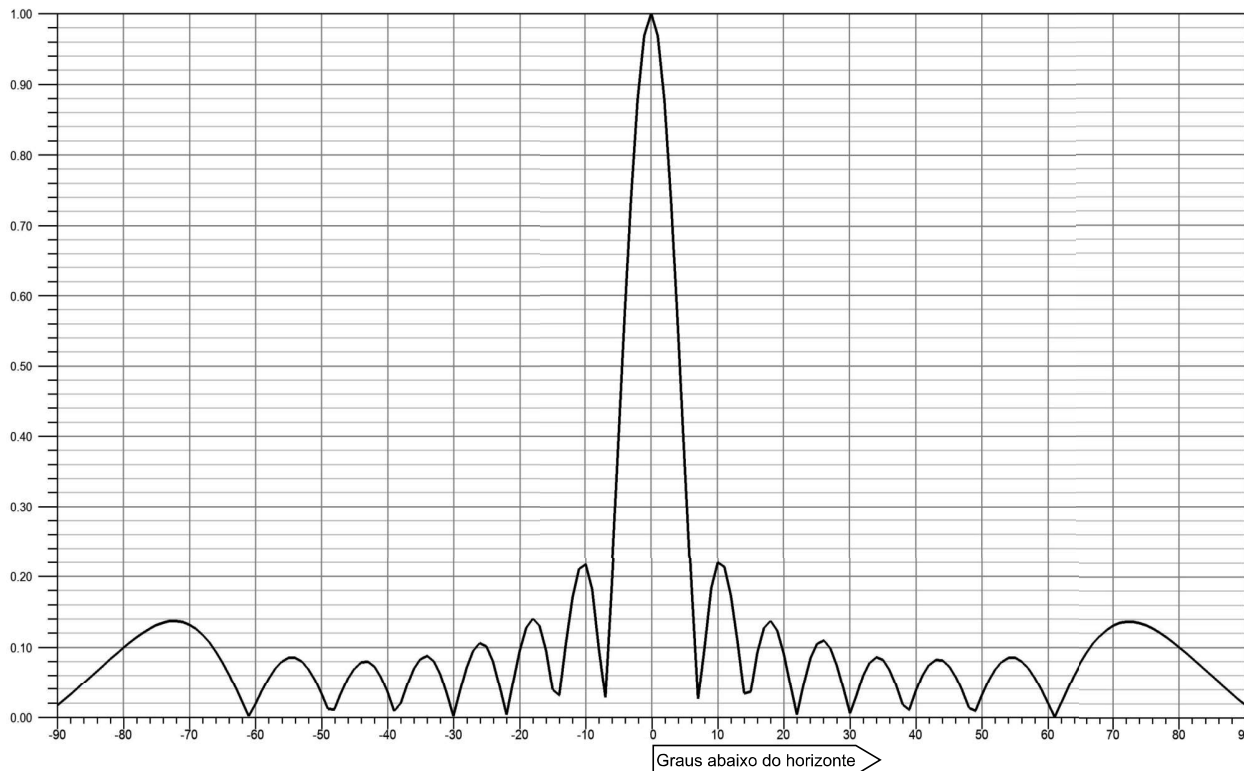
### Diagrama de Elevação 6 fendas



Graus	E/Emáx	dB	Graus	E/Emáx	dB	Graus	E/Emáx	dB	Graus	E/Emáx	dB	Graus	E/Emáx	dB	Graus	E/Emáx	dB
-90	0,018	-34,93	-60	0,074	-22,59	-30	0,003	-49,84	0	1,000	0,00	30	0,006	-43,92	60	0,074	-22,57
-89	0,026	-31,79	-59	0,055	-25,19	-29	0,039	-28,09	1	0,982	-0,15	31	0,031	-30,23	61	0,092	-20,73
-88	0,034	-29,41	-58	0,035	-29,22	-28	0,075	-22,45	2	0,931	-0,62	32	0,062	-24,17	62	0,108	-19,36
-87	0,042	-27,50	-57	0,013	-37,47	-27	0,107	-19,39	3	0,848	-1,43	33	0,087	-21,23	63	0,121	-18,32
-86	0,051	-25,92	-56	0,008	-41,71	-26	0,132	-17,60	4	0,740	-2,62	34	0,104	-19,66	64	0,133	-17,54
-85	0,059	-24,58	-55	0,029	-30,66	-25	0,146	-16,69	5	0,613	-4,26	35	0,113	-18,94	65	0,142	-16,94
-84	0,068	-23,41	-54	0,049	-26,13	-24	0,149	-16,54	6	0,474	-6,48	36	0,113	-18,90	66	0,149	-16,51
-83	0,076	-22,38	-53	0,068	-23,39	-23	0,138	-17,18	7	0,332	-9,57	37	0,106	-19,49	67	0,155	-16,22
-82	0,085	-21,46	-52	0,083	-21,57	-22	0,114	-18,84	8	0,195	-14,19	38	0,092	-20,76	68	0,158	-16,04
-81	0,093	-20,63	-51	0,096	-20,35	-21	0,078	-22,17	9	0,070	-23,09	39	0,072	-22,90	69	0,159	-15,96
-80	0,101	-19,88	-50	0,105	-19,61	-20	0,031	-30,08	10	0,037	-28,62	40	0,048	-26,44	70	0,159	-15,98
-79	0,110	-19,20	-49	0,109	-19,28	-19	0,023	-32,72	11	0,122	-18,31	41	0,021	-33,43	71	0,157	-16,07
-78	0,118	-18,60	-48	0,108	-19,35	-18	0,079	-22,05	12	0,181	-14,86	42	0,006	-44,38	72	0,154	-16,24
-77	0,125	-18,05	-47	0,102	-19,85	-17	0,132	-17,56	13	0,214	-13,39	43	0,032	-29,94	73	0,150	-16,48
-76	0,132	-17,56	-46	0,091	-20,86	-16	0,178	-14,99	14	0,222	-13,06	44	0,056	-25,11	74	0,145	-16,78
-75	0,139	-17,14	-45	0,074	-22,56	-15	0,210	-13,55	15	0,208	-13,63	45	0,076	-22,41	75	0,139	-17,15
-74	0,145	-16,77	-44	0,054	-25,36	-14	0,224	-13,00	16	0,176	-15,11	46	0,092	-20,76	76	0,132	-17,57
-73	0,150	-16,47	-43	0,030	-30,44	-13	0,215	-13,34	17	0,130	-17,73	47	0,103	-19,77	77	0,125	-18,06
-72	0,154	-16,23	-42	0,004	-47,60	-12	0,182	-14,81	18	0,076	-22,38	48	0,108	-19,29	78	0,117	-18,60
-71	0,157	-16,06	-41	0,024	-32,55	-11	0,122	-18,26	19	0,020	-34,07	49	0,109	-19,24	79	0,110	-19,21
-70	0,159	-15,96	-40	0,050	-26,01	-10	0,037	-28,54	20	0,034	-29,36	50	0,105	-19,59	80	0,101	-19,88
-69	0,159	-15,95	-39	0,074	-22,58	-9	0,070	-23,09	21	0,081	-21,85	51	0,096	-20,34	81	0,093	-20,63
-68	0,158	-16,03	-38	0,094	-20,50	-8	0,195	-14,18	22	0,117	-18,61	52	0,083	-21,57	82	0,085	-21,45
-67	0,155	-16,21	-37	0,109	-19,26	-7	0,333	-9,56	23	0,141	-16,99	53	0,068	-23,40	83	0,076	-22,36
-66	0,150	-16,51	-36	0,116	-18,68	-6	0,475	-6,47	24	0,152	-16,36	54	0,049	-26,16	84	0,068	-23,39
-65	0,142	-16,94	-35	0,116	-18,72	-5	0,613	-4,25	25	0,149	-16,51	55	0,029	-30,73	85	0,059	-24,54
-64	0,133	-17,53	-34	0,107	-19,42	-4	0,740	-2,61	26	0,135	-17,41	56	0,008	-42,01	86	0,051	-25,86
-63	0,121	-18,33	-33	0,090	-20,95	-3	0,848	-1,43	27	0,110	-19,16	57	0,014	-37,34	87	0,043	-27,40
-62	0,108	-19,37	-32	0,065	-23,79	-2	0,931	-0,62	28	0,078	-22,12	58	0,035	-29,17	88	0,034	-29,24
-61	0,092	-20,74	-31	0,033	-29,51	-1	0,982	-0,15	29	0,042	-27,46	59	0,055	-25,16	89	0,027	-31,51

## Diagramas de Radiação Vertical - Hpol

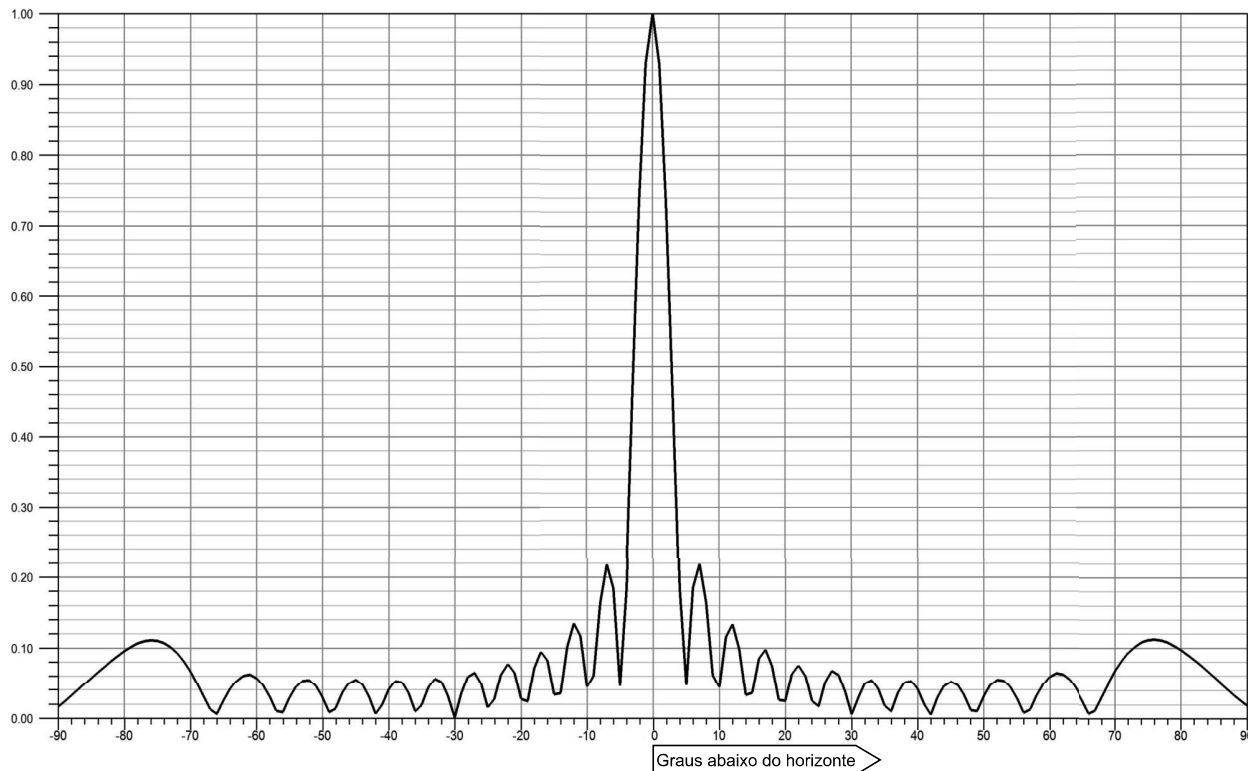
### Diagrama de Elevação 8 fendas



Graus	E/Emáx	dB	Graus	E/Emáx	dB	Graus	E/Emáx	dB	Graus	E/Emáx	dB	Graus	E/Emáx	dB	Graus	E/Emáx	dB
-90	0,017	-35,26	-60	0,019	-34,42	-30	0,002	-53,36	0	1,000	0,00	30	0,006	-44,33	60	0,020	-33,90
-89	0,025	-32,04	-59	0,038	-28,34	-29	0,038	-28,40	1	0,968	-0,28	31	0,031	-30,06	61	0,001	-62,76
-88	0,033	-29,60	-58	0,056	-25,11	-28	0,071	-22,97	2	0,878	-1,13	32	0,060	-24,43	62	0,021	-33,63
-87	0,041	-27,66	-57	0,070	-23,13	-27	0,095	-20,42	3	0,737	-2,65	33	0,079	-22,03	63	0,041	-27,74
-86	0,050	-26,05	-56	0,080	-21,93	-26	0,106	-19,46	4	0,563	-4,98	34	0,087	-21,23	64	0,060	-24,42
-85	0,058	-24,69	-55	0,086	-21,34	-25	0,102	-19,86	5	0,374	-8,53	35	0,083	-21,65	65	0,078	-22,20
-84	0,067	-23,51	-54	0,086	-21,30	-24	0,080	-21,90	6	0,189	-14,45	36	0,068	-23,34	66	0,093	-20,62
-83	0,075	-22,47	-53	0,081	-21,84	-23	0,045	-27,02	7	0,027	-31,51	37	0,045	-26,84	67	0,106	-19,47
-82	0,084	-21,55	-52	0,070	-23,07	-22	0,004	-47,64	8	0,101	-19,92	38	0,018	-34,90	68	0,117	-18,62
-81	0,092	-20,73	-51	0,055	-25,26	-21	0,051	-25,87	9	0,184	-14,71	39	0,011	-39,20	69	0,126	-18,02
-80	0,100	-20,01	-50	0,035	-29,18	-20	0,096	-20,39	10	0,220	-13,14	40	0,038	-28,42	70	0,132	-17,61
-79	0,108	-19,37	-49	0,012	-38,32	-19	0,128	-17,86	11	0,214	-13,41	41	0,060	-24,41	71	0,135	-17,37
-78	0,115	-18,80	-48	0,012	-38,53	-18	0,141	-17,01	12	0,172	-15,29	42	0,076	-22,43	72	0,137	-17,26
-77	0,121	-18,32	-47	0,035	-29,16	-17	0,131	-17,69	13	0,108	-19,35	43	0,083	-21,63	73	0,137	-17,27
-76	0,127	-17,92	-46	0,055	-25,18	-16	0,096	-20,40	14	0,034	-29,31	44	0,082	-21,74	74	0,135	-17,39
-75	0,132	-17,60	-45	0,070	-23,04	-15	0,039	-28,12	15	0,037	-28,71	45	0,073	-22,73	75	0,132	-17,61
-74	0,135	-17,38	-44	0,079	-22,01	-14	0,031	-30,08	16	0,093	-20,66	46	0,058	-24,80	76	0,127	-17,92
-73	0,137	-17,25	-43	0,080	-21,89	-13	0,105	-19,57	17	0,128	-17,89	47	0,037	-28,59	77	0,122	-18,31
-72	0,138	-17,22	-42	0,073	-22,71	-12	0,169	-15,43	18	0,138	-17,21	48	0,014	-37,07	78	0,115	-18,78
-71	0,136	-17,32	-41	0,058	-24,73	-11	0,211	-13,52	19	0,124	-18,10	49	0,010	-39,86	79	0,108	-19,32
-70	0,133	-17,55	-40	0,036	-28,90	-10	0,218	-13,24	20	0,092	-20,74	50	0,033	-29,62	80	0,101	-19,95
-69	0,127	-17,95	-39	0,009	-40,77	-9	0,181	-14,82	21	0,047	-26,60	51	0,053	-25,49	81	0,093	-20,66
-68	0,118	-18,54	-38	0,020	-34,05	-8	0,099	-20,12	22	0,004	-48,19	52	0,069	-23,20	82	0,085	-21,46
-67	0,108	-19,36	-37	0,047	-26,53	-7	0,028	-30,92	23	0,049	-26,23	53	0,080	-21,92	83	0,076	-22,35
-66	0,095	-20,49	-36	0,070	-23,14	-6	0,191	-14,38	24	0,085	-21,45	54	0,086	-21,35	84	0,068	-23,36
-65	0,079	-22,04	-35	0,084	-21,49	-5	0,376	-8,50	25	0,106	-19,51	55	0,086	-21,35	85	0,060	-24,50
-64	0,062	-24,20	-34	0,088	-21,07	-4	0,564	-4,97	26	0,110	-19,14	56	0,080	-21,90	86	0,051	-25,82
-63	0,043	-27,43	-33	0,081	-21,84	-3	0,738	-2,64	27	0,099	-20,08	57	0,070	-23,06	87	0,043	-27,35
-62	0,022	-33,04	-32	0,062	-24,16	-2	0,878	-1,13	28	0,074	-22,56	58	0,056	-24,98	88	0,035	-29,19
-61	0,002	-53,72	-31	0,033	-29,52	-1	0,969	-0,28	29	0,041	-27,70	59	0,039	-28,11	89	0,027	-31,46

## Diagramas de Radiação Vertical - Hpol

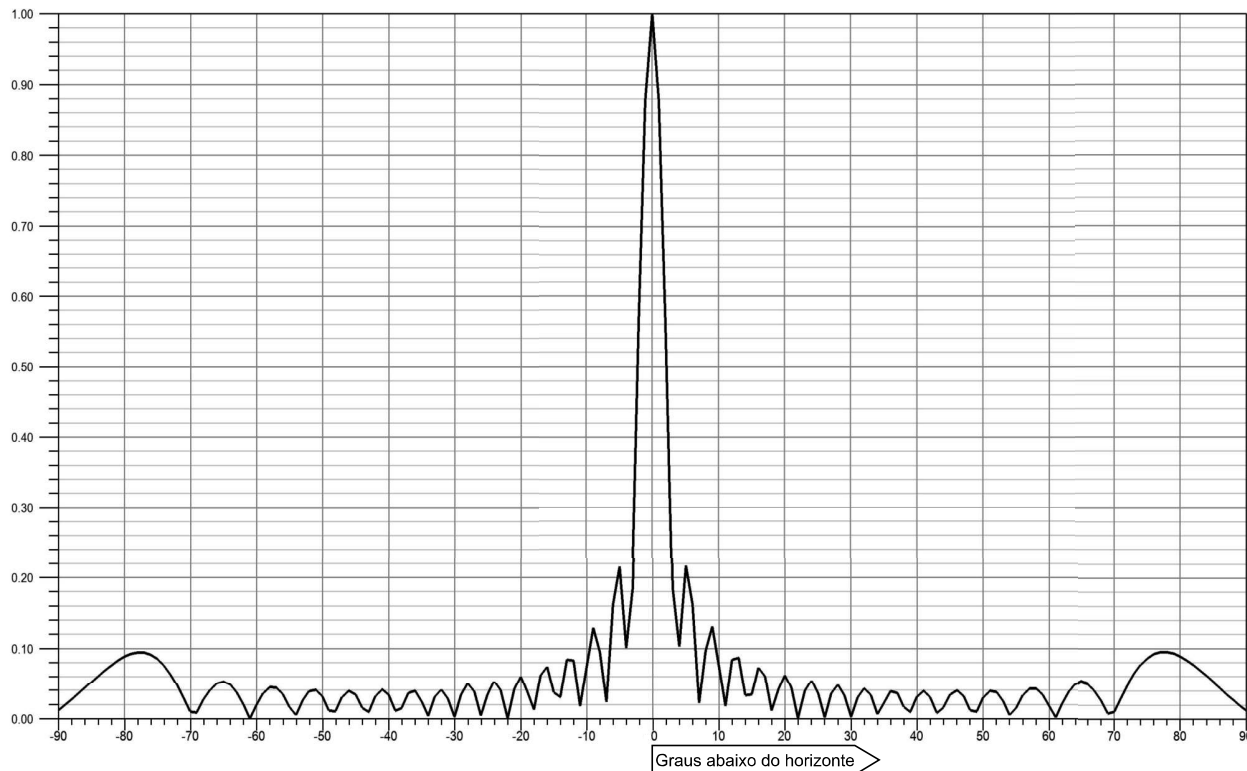
### Diagrama de Elevação 12 fendas



Graus	E/Emáx	dB	Graus	E/Emáx	dB	Graus	E/Emáx	dB	Graus	E/Emáx	dB	Graus	E/Emáx	dB	Graus	E/Emáx	dB
-90	0,017	-35,42	-60	0,058	-24,73	-30	0,002	-54,71	0	1,000	0,00	30	0,006	-44,15	60	0,060	-24,44
-89	0,025	-32,17	-59	0,047	-26,52	-29	0,035	-29,06	1	0,929	-0,64	31	0,029	-30,79	61	0,065	-23,78
-88	0,033	-29,71	-58	0,031	-30,14	-28	0,060	-24,49	2	0,734	-2,69	32	0,050	-26,02	62	0,063	-24,00
-87	0,041	-27,75	-57	0,011	-38,80	-27	0,066	-23,65	3	0,464	-6,67	33	0,055	-25,24	63	0,056	-25,11
-86	0,049	-26,15	-56	0,010	-40,38	-26	0,050	-26,06	4	0,183	-14,76	34	0,043	-27,41	64	0,043	-27,33
-85	0,058	-24,79	-55	0,029	-30,69	-25	0,016	-36,08	5	0,048	-26,43	35	0,018	-34,76	65	0,027	-31,48
-84	0,066	-23,62	-54	0,045	-26,98	-24	0,027	-31,40	6	0,186	-14,63	36	0,011	-39,32	66	0,008	-42,08
-83	0,074	-22,61	-53	0,054	-25,39	-23	0,062	-24,10	7	0,219	-13,21	37	0,036	-28,81	67	0,012	-38,22
-82	0,082	-21,73	-52	0,055	-25,27	-22	0,078	-22,17	8	0,164	-15,68	38	0,052	-25,75	68	0,032	-29,85
-81	0,089	-20,98	-51	0,046	-26,66	-21	0,066	-23,65	9	0,062	-24,21	39	0,053	-25,47	69	0,051	-25,85
-80	0,096	-20,34	-50	0,030	-30,32	-20	0,028	-31,12	10	0,045	-27,02	40	0,042	-27,61	70	0,068	-23,36
-79	0,102	-19,83	-49	0,009	-40,95	-19	0,024	-32,27	11	0,116	-18,72	41	0,020	-33,91	71	0,082	-21,69
-78	0,107	-19,43	-48	0,015	-36,69	-18	0,072	-22,91	12	0,134	-17,49	42	0,006	-44,85	72	0,094	-20,54
-77	0,110	-19,17	-47	0,036	-28,93	-17	0,095	-20,44	13	0,100	-20,04	43	0,030	-30,60	73	0,103	-19,76
-76	0,112	-19,05	-46	0,050	-25,96	-16	0,082	-21,68	14	0,034	-29,44	44	0,046	-26,70	74	0,109	-19,28
-75	0,111	-19,10	-45	0,055	-25,19	-15	0,034	-29,37	15	0,037	-28,74	45	0,053	-25,58	75	0,112	-19,03
-74	0,108	-19,35	-44	0,048	-26,32	-14	0,036	-28,86	16	0,085	-21,40	46	0,048	-26,43	76	0,113	-18,97
-73	0,102	-19,82	-43	0,031	-30,13	-13	0,102	-19,87	17	0,098	-20,20	47	0,033	-29,60	77	0,111	-19,08
-72	0,093	-20,59	-42	0,007	-43,10	-12	0,135	-17,39	18	0,074	-22,60	48	0,012	-38,34	78	0,108	-19,33
-71	0,082	-21,73	-41	0,019	-34,23	-11	0,117	-18,63	19	0,027	-31,45	49	0,011	-38,86	79	0,103	-19,72
-70	0,068	-23,38	-40	0,041	-27,70	-10	0,045	-26,88	20	0,025	-31,91	50	0,032	-29,76	80	0,097	-20,23
-69	0,051	-25,84	-39	0,053	-25,51	-9	0,061	-24,31	21	0,063	-23,96	51	0,048	-26,38	81	0,091	-20,85
-68	0,032	-29,76	-38	0,051	-25,79	-8	0,164	-15,72	22	0,076	-22,43	52	0,056	-25,11	82	0,083	-21,59
-67	0,013	-37,83	-37	0,036	-28,89	-7	0,218	-13,24	23	0,060	-24,42	53	0,054	-25,32	83	0,075	-22,45
-66	0,007	-43,23	-36	0,010	-39,80	-6	0,185	-14,68	24	0,025	-32,21	54	0,045	-27,00	84	0,067	-23,44
-65	0,025	-31,88	-35	0,019	-34,28	-5	0,046	-26,66	25	0,018	-34,97	55	0,029	-30,87	85	0,059	-24,58
-64	0,042	-27,62	-34	0,044	-27,12	-4	0,184	-14,69	26	0,052	-25,65	56	0,009	-41,31	86	0,051	-25,90
-63	0,054	-25,36	-33	0,056	-24,96	-3	0,465	-6,64	27	0,068	-23,32	57	0,013	-37,74	87	0,042	-27,45
-62	0,061	-24,25	-32	0,052	-25,67	-2	0,735	-2,67	28	0,062	-24,10	58	0,033	-29,68	88	0,034	-29,32
-61	0,063	-24,04	-31	0,031	-30,17	-1	0,930	-0,64	29	0,038	-28,37	59	0,049	-26,19	89	0,026	-31,64

## Diagramas de Radiação Vertical - Hpol

### Diagrama de Elevação 16 fendas



Graus	E/Emáx	dB	Graus	E/Emáx	dB	Graus	E/Emáx	dB	Graus	E/Emáx	dB	Graus	E/Emáx	dB	Graus	E/Emáx	dB
-90	0,012	-38,18	-60	0,020	-34,16	-30	0,003	-50,24	0	1,000	0,00	30	0,003	-50,05	60	0,018	-34,91
-89	0,020	-34,02	-59	0,036	-28,93	-29	0,034	-29,31	1	0,876	-1,15	31	0,030	-30,34	61	0,002	-52,92
-88	0,028	-31,06	-58	0,045	-26,96	-28	0,050	-26,03	2	0,559	-5,05	32	0,043	-27,25	62	0,022	-33,18
-87	0,036	-28,82	-57	0,045	-27,02	-27	0,038	-28,29	3	0,184	-14,69	33	0,033	-29,57	63	0,039	-28,26
-86	0,045	-27,02	-56	0,035	-29,23	-26	0,005	-45,93	4	0,103	-19,72	34	0,007	-43,64	64	0,050	-26,06
-85	0,053	-25,53	-55	0,017	-35,57	-25	0,034	-29,31	5	0,217	-13,29	35	0,023	-32,93	65	0,054	-25,37
-84	0,061	-24,27	-54	0,005	-45,47	-24	0,054	-25,42	6	0,162	-15,80	36	0,039	-28,07	66	0,051	-25,87
-83	0,069	-23,21	-53	0,026	-31,83	-23	0,041	-27,84	7	0,023	-32,80	37	0,037	-28,65	67	0,041	-27,66
-82	0,077	-22,32	-52	0,039	-28,17	-22	0,001	-58,54	8	0,098	-20,21	38	0,017	-35,29	68	0,027	-31,45
-81	0,083	-21,60	-51	0,041	-27,66	-21	0,042	-27,51	9	0,131	-17,64	39	0,010	-40,09	69	0,009	-41,16
-80	0,089	-21,03	-50	0,032	-30,00	-20	0,060	-24,43	10	0,076	-22,43	40	0,032	-29,92	70	0,011	-39,18
-79	0,093	-20,64	-49	0,012	-38,33	-19	0,038	-28,34	11	0,018	-34,82	41	0,040	-28,05	71	0,031	-30,29
-78	0,095	-20,44	-48	0,011	-38,97	-18	0,013	-37,57	12	0,085	-21,45	42	0,030	-30,35	72	0,049	-26,23
-77	0,095	-20,45	-47	0,031	-30,21	-17	0,062	-24,14	13	0,087	-21,21	43	0,009	-41,08	73	0,065	-23,80
-76	0,092	-20,73	-46	0,040	-28,02	-16	0,075	-22,54	14	0,033	-29,55	44	0,016	-35,75	74	0,077	-22,24
-75	0,086	-21,32	-45	0,034	-29,35	-15	0,037	-28,61	15	0,035	-29,12	45	0,035	-29,13	75	0,087	-21,24
-74	0,076	-22,33	-44	0,015	-36,26	-14	0,031	-30,24	16	0,073	-22,72	46	0,041	-27,80	76	0,093	-20,65
-73	0,064	-23,91	-43	0,010	-39,95	-13	0,085	-21,45	17	0,061	-24,31	47	0,032	-29,86	77	0,096	-20,39
-72	0,048	-26,37	-42	0,032	-29,89	-12	0,083	-21,61	18	0,012	-38,61	48	0,013	-37,88	78	0,096	-20,38
-71	0,030	-30,48	-41	0,042	-27,61	-11	0,018	-34,94	19	0,040	-27,90	49	0,011	-39,53	79	0,093	-20,58
-70	0,010	-39,62	-40	0,034	-29,33	-10	0,074	-22,59	20	0,063	-24,08	50	0,030	-30,42	80	0,089	-20,98
-69	0,009	-40,86	-39	0,012	-38,38	-9	0,129	-17,79	21	0,045	-27,02	51	0,040	-27,91	81	0,084	-21,55
-68	0,027	-31,42	-38	0,016	-36,01	-8	0,096	-20,39	22	0,001	-57,99	52	0,038	-28,35	82	0,077	-22,28
-67	0,041	-27,69	-37	0,037	-28,75	-7	0,024	-32,33	23	0,040	-27,97	53	0,025	-31,92	83	0,069	-23,18
-66	0,050	-25,94	-36	0,040	-27,92	-6	0,162	-15,79	24	0,054	-25,30	54	0,006	-45,17	84	0,061	-24,24
-65	0,053	-25,47	-35	0,024	-32,29	-5	0,216	-13,33	25	0,036	-28,88	55	0,016	-35,98	85	0,053	-25,50
-64	0,049	-26,23	-34	0,004	-47,53	-4	0,102	-19,87	26	0,002	-54,33	56	0,033	-29,53	86	0,045	-26,98
-63	0,037	-28,53	-33	0,031	-30,24	-3	0,186	-14,60	27	0,036	-28,82	57	0,043	-27,31	87	0,036	-28,78
-62	0,021	-33,76	-32	0,041	-27,70	-2	0,561	-5,02	28	0,048	-26,35	58	0,043	-27,28	88	0,028	-31,01
-61	0,000	-66,61	-31	0,029	-30,85	-1	0,877	-1,14	29	0,033	-29,67	59	0,034	-29,34	89	0,020	-33,92